

補剛トラスの横断面変形を考慮した吊橋ねじり振動

大阪大学 工学部 正員 小松是夫
大阪大学 工学部 正員 ○西村宣男

1. まえがき 長大吊橋においては、ねじり振動が耐風安定性を決定する上で重要な要素となる。吊橋のねじり固有振動の計算法は Bleich, Steinman, Selberg, Moppert など、各種の方法を示している。準横断面補剛トラスを有する場合は Bleich 理論式が用いられている。筆者らは光に吊構造の横断面変形を考慮した吊橋の静力学的立體解析法を発表し、応力計算に Bleich 式を採用するには問題があることを指摘した。¹⁾ 今回は同様の手法でねじり振動に及ぼす対傾構剛性の影響について検討する。同時に、再び Bleich 式によるねじり固有振動との比較を行った。記号は文献¹⁾を参考された。

2. 振動方程式の説明 静力学解析と同様にトラスを連続体と換算し、Vlasov の一般化座標法を適用する。その際以下の仮定を設ける。
 1) 吊構造は 2 軸対称断面。
 2) 吊構造の死荷重は横断方向にはせん断中心に関して対称に分布し、橋軸方向に等分布する。
 3) ケーブルの橋軸方向慣性力を無視する。
 4) 各支点において吊構造にはねじり角や断面変形が生じないよう十分剛性対傾構などが設けられている。以上の仮定から、 θ は変位成分としてねじれ角、それ自身および単位をもつて w を考える。(図 1)

吊橋のねじりに関する基礎方程式は

$$-(b_1 + \frac{b^2}{2} H_d) \varphi'' - b_1 w' - (b_2 + \frac{b^2}{2} H_d) \theta = m_c + H_p b_1 \varphi'' \quad ① \quad a w'' - b_1 w - b_2 \varphi' - b_1 \theta' = -m_w \quad ②$$

$$-(b_2 + \frac{b^2}{2} H_d) \varphi'' - b_1 w' - (b_1 + \frac{b^2}{2} H_d) \theta'' + \varphi \theta = m_b + H_p b_2 \varphi'' \quad ③ \quad H_p = -\frac{E F_c}{L_c} \varphi'' \frac{b_2}{2} \int_L (\varphi + \theta) dz \quad ④$$

$$= -\nu \quad a = EA_c b^2 h^3 / 4, \quad b_1 = G(t, b + t_z h) bh / 2, \quad b_2 = G(t, b - t_z h) bh / 2$$

ここで t_z はそれが主構面より下横構面の換算板厚、 ν は格間を平均化した対傾構のせん断剛性である。

振動方程式は上式の外力項 m_c , m_b および m_w を慣性力に置換して与えられる。断面変形を含む場合の慣性力について少し詳しく述べる。断面内に x - y 座標をとると任意点 (x, y, z) の変位の直交 3 成分は

$$U = -(\varphi - \theta) y, \quad V = (\varphi + \theta) x, \quad W = w - xy \quad ⑤$$

したがって慣性力の直交 3 成分は

$$-m \ddot{U} = (\ddot{\varphi} - \ddot{\theta}) y m, \quad -m \ddot{V} = -(\ddot{\varphi} + \ddot{\theta}) x m, \quad -m \ddot{W} = -\ddot{w} - xy m \quad ⑥$$

ここで “ m ” は時間上に固まる二回微分を意味する。図 1 の変位座標に關して積分すると

$$m_{c1} = -\dot{\varphi} \int_A (x^2 + y^2) m dA - \dot{\theta} \int_A (x^2 - y^2) m dA = -\frac{m_{c1}}{g} \dot{\varphi} - \frac{m_{c2}}{g} \dot{\theta} \quad ⑦$$

$$m_{c2} = -\dot{\varphi} \int_A (x^2 - y^2) m dA - \dot{\theta} \int_A (x^2 + y^2) m dA = -\frac{m_{c2}}{g} \dot{\varphi} - \frac{m_{c1}}{g} \dot{\theta} \quad ⑧$$

$$m_w = -\ddot{w} \int_A x^2 y^2 m dA = -\frac{m_w}{g} \ddot{w} \quad ⑨$$

重にケーブルの鉛直方向慣性力を吊橋に計り、分布ねじりモーメント、分布ずれモーメントとして作用する。

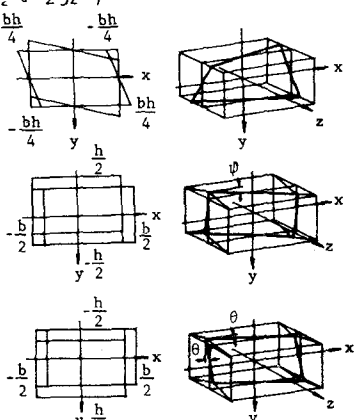


図 1. 変位座標

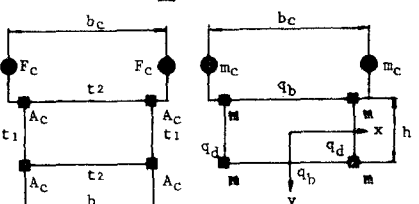


図 2. 部材断面と荷重分析

$$m_{xz} = -\frac{m_c b_z^2}{2g} \ddot{\varphi} - \frac{m_c b_z^2}{2g} \ddot{\theta}, \quad m_{yz} = -\frac{m_c b_z^2}{2g} \ddot{\varphi} - \frac{m_c b_z^2}{2g} \ddot{\theta} \quad ⑩$$

$$\text{図2の上うな質量合算に対する } z \text{ 軸の運動方程式は} \quad \bar{m}_{y1} = (\frac{b^3}{8} + \frac{bh^2}{2}) g_b + (\frac{b^3}{2} + \frac{h^3}{6}) g_d + (b^2 + h^2) M, \quad \bar{m}_{y2} = (\frac{b^3}{8} - \frac{bh^2}{2}) g_b + (\frac{b^3}{2} - \frac{h^3}{6}) g_d + (b^2 - h^2) M, \quad \bar{m}_{w} = b^2 h^2 (M + \frac{g_b b}{24} + \frac{g_d h}{24})$$

式⑩～⑫を基礎式①～④に代入すると振動方程式は

$$-(C_1 + \frac{b^2}{2} Ha) \varphi'' - b_z w' - (b_z + \frac{b^2}{2} Ha) \theta'' - H_p b_z \ddot{\varphi} = -(\frac{\bar{m}_{y1}}{g} + \frac{m_c b_z^2}{2g}) \ddot{\varphi} - (\frac{\bar{m}_{y2}}{g} + \frac{m_c b_z^2}{2g}) \ddot{\theta} \quad ⑪$$

$$-(b_z + \frac{b^2}{2} Ha) \varphi'' - b_z w' - (b_z + \frac{b^2}{2} Ha) \theta'' + Y \theta - H_p b_z \ddot{\varphi} = -(\frac{\bar{m}_{y2}}{g} + \frac{m_c b_z^2}{2g}) \ddot{\varphi} - (\frac{\bar{m}_{y1}}{g} + \frac{m_c b_z^2}{2g}) \ddot{\theta} \quad ⑫$$

$$aw'' - b_z w' - b_z \theta' - b_z \theta = \frac{\bar{m}_w}{g} \ddot{w} \quad ⑬$$

変位 φ, θ および w を変数分離し、振動モード $\varphi(z), \theta(z)$ および $w(z)$ に対して境界条件を満足する級数解を求める。ガルーベン法を用いて振動方程式を導く。

3. 數値計算例 吊橋 L-1100 (260m + 1100m + 260m) における

L-850 (300m + 850m + 300m) について数値計算を行った。結果を要約するところ以下のようである。

(1). 断面内に φ と θ の 2 つの自由度を有するから、逆対称振動モードは図3に示すようにスパン方向に同じ波形をもつが、横断面方向では φ と θ が同位相の場合、逆位相の場合で逆々振動モードを呈する。対称振動モードはスパン方向の波形もまた違である。(2). φ と θ 同位相のものは ω 値の減少に伴い固有振動数

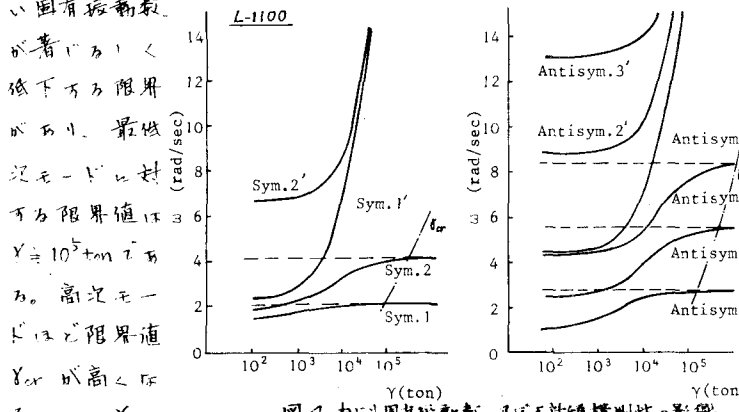


図4 固有振動数と対称構剛性の影響

右。(3). $\gamma =$

$1.5 \times 10^5 \text{ ton}$ (南備讃瀬戸大橋、対称構剛性に相当) の場合についての数値計算例を示す。Bleich 式による固有振動数は低次モードでは本法の結果とよく一致している。低次モードについては対称構剛性がどの程度大きくなければ、断面変形の影響がほとんど現われず、また曲げねじり剛性が関与しないために両者に差を生じない。しかし高次モードへ移行する程、Bleich 式は高目の固有振動数を与えることが表2より明らかである。(4) 耐風安定性の見地からも対称構剛性は 10^5 ton 以上とあることが望ましいと思われる。

参考文献 1) 小松、西村：吊橋のねじり解析 4～7章、本田連絡橋上部構造に関する調査研究報告書別冊6、昭和43年 2) Bleich 他：The mathematical theory of vibration in suspension bridges, 1950

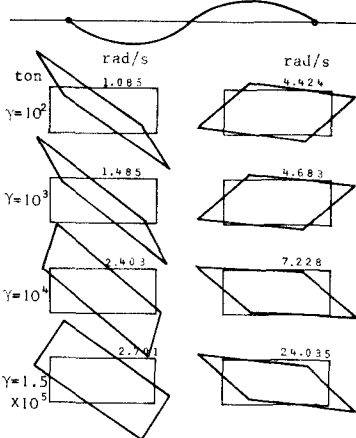


図3 吊橋振動モード(L-1100)

表1 対称における振動数比 (L-1100)

対称モード	ω / ω	ω rad/s $A=1.5 \times 10^5 \text{ ton}, B=10^5 \text{ ton}$	A/B
1次	0.002	2,130	2.134
2次	0.060	4,090	4.156

対称モード	ω / ω	ω rad/s $A=1.5 \times 10^5 \text{ ton}, B=10^5 \text{ ton}$	A/B
1次	0.027	2,710	2.731
2次	0.108	5,359	5,512
3次	0.244	7,938	8,385
4次	0.427	10,512	11,373

表2 Bleich 比較 (L-850)

対称モード	Bleich A	本法 B	ω / ω	B/A
1次	2,473	2,459	0.002	0.998
2次	5,752	5,638	0.028	0.980
3次	12,784	11,673	0.168	0.913

単位 rad/sec